

Анизотропные модели полимерных сегнетоэлектриков

© А.В. Максимов, Р.А. Герасимов

Череповецкий государственный университет,
Череповец, Россия

E-mail: a_v_maximov@mail.ru

Рассмотрены фазовые переходы в упорядоченное состояние трехмерных полимерных систем, состоящих из гибких и жестких сегментов, при наличии внутри- и межцепных ориентационно-деформационных взаимодействий дипольного типа. По статистическим свойствам предложенные модели соответствуют гауссовому и сферическому приближениям, используемым для описания поведения анизотропных гейзенберговских сегнетоэлектриков и ферромагнетиков. В рассматриваемых трехмерных моделях существует критическая точка T_c , в которой происходит фазовый переход второго рода из изотропного состояния в состояние с дальним ориентационным порядком. Аналитическими методами установлены законы изменения температуры T_c от величины анизотропии взаимодействий. Рассчитаны температурные зависимости параметра дальнего дипольного порядка, проведено сравнение с экспериментальными результатами, полученными методом PPS (piezoelectric pressure step) для толстых сегнетоэлектрических полимерных пленок ПВДФ и П(ВДФ-ТрФЭ).

PACS: 61.30.Vx, 64.60.Ej, 64.70.M-, 77.84.Nh

1. Введение

В последнее время проявляется значительный интерес к сегнетоэлектрическим и сегнетоэластическим фазам полимеров, обладающих уникальными электрическими и механическими свойствами [1–3]. Эти свойства обусловлены возникновением соответственно спонтанной поляризации или деформации при фазовых переходах из изотропного в упорядоченное состояние. Наибольшие перспективы использования сегнетоэлектриков и сегнетоэластиков связаны с созданием управляемых принципиально новых устройств обработки сигналов: акустоэлектронных, оптических и электромеханических.

Гибкость полимерных цепей в сочетании со способностью некоторых полимеров к жидкокристаллическому упорядочению создает еще большие возможности для проявления указанных свойств [1–3]. Поэтому актуально теоретическое исследование равновесных и динамических свойств полимерных систем, проявляющих сегнетоэлектрические или сегнетоэластические свойства. Для этого необходимы специальные модели, в которых, с одной стороны, учитываются взаимодействия сегментов цепей дипольного типа, как при описании обычных сегнетоэлектриков [4], а с другой стороны, участки цепей должны обладать способностью к конечным деформациям (растяжению), как например в полимерных сетках [5–8].

Сходные черты ферромагнитных, сегнетоэлектрических и сегнетоэластических фазовых переходов, установленные экспериментальными методами, позволяют разрабатывать общие подходы для их анализа, например метод среднего поля, в том числе и для полимерных систем [1–3]. Для исследования статистики, динамики и особенностей фазовых переходов в полимерных системах с нематическим типом порядка можно использовать континуальные и решеточные модели из гибких или

жестких сегментов, где вводится среднее молекулярное поле квадрупольного типа. Однако для описания эффектов ориентации в полимерных системах, проявляющих сегнетоэлектрические и сегнетоэластические свойства, необходимы модели, в которых учитывались бы как жесткость цепей на изгиб, так и межцепные взаимодействия дипольного типа. Класс таких систем и условия, при которых они могут существовать, рассмотрены в работе [9].

2. Модели. Сферическое и гауссово приближение

В предлагаемой трехмерной модели цепи состоят из жестких элементов длиной l , меньших статистического сегмента. Предполагается, что N_1 элементов, расположенных в узлах трехмерной „квазирешетки“ [10], вдоль ее продольного криволинейного направления (I на рис. 1) образуют полимерные цепи. На рис. 1 величины N_2 и N_3 характеризуют число цепей вдоль каждого из направлений поперечного сечения системы цепей. Таким образом, положение каждого сегмента цепи в „квазирешетке“ определяется набором трех чисел $(n_1, n_2, n_3) \equiv n$. Индекс n_1 отсчитывается вдоль контурной длины выделенной цепи, равной $N_1 l$: $n_1 = 1, \dots, N_1$, а индексы n_2 и n_3 нумеруют сами цепи (в криволинейных направлениях 2 и 3 на рис. 1): $n_2 = 1, \dots, N_2$; $n_3 = 1, \dots, N_3$. В данной модели вводится потенциал ориентационных взаимодействий дипольного типа $V_{n,m}^{(i)}$, зависящий от угла $\Phi_{n,m}$ взаимной пространственной ориентации между осями сегментов, расположенных в узлах n и m „квазирешетки“

$$V_{n,m}^{(i)} = -K_i \cos \Phi_{n,m} = -K_i \frac{(u_n u_m + v_n v_m + w_n w_m)}{l^2}, \quad (1)$$

где u_n , v_n и w_n — декартовые проекции на оси координат вектора, направленного вдоль оси сегмента цепи, распо-

ложенного в узле n трехмерной „квазирешетки“ (рис. 1). В выражении (1) индекс $i = 1$ для сегментов, принадлежащих одной цепи; $i = 2$ — для сегментов соседних цепей, расположенных в направлениях 2 и 3 на рис. 1. Энергетическая константа K_1 вдоль „продольного“ кристаллического направления 1 „квазирешетки“ описывает внутрицепные ориентационные взаимодействия и связана с термодинамической жесткостью цепи на изгиб [11], определяющей персистентную длину и средний косинус угла между соседними элементами изолированной цепи (когда $K_2 = 0$). Соответствующая константа K_2 характеризует локальные межцепные ориентационные взаимодействия — между соседними сегментами разных цепей в „поперечных“ направлениях 2 и 3 „квазирешетки“. Оценка констант K_1 и K_2 для полярных и неполярных макромолекул проведена в работе [11].

При учете взаимодействий между ближайшими сегментами потенциальная энергия системы цепей, состоящих из жестких сегментов (рис. 1), может быть представлена в следующем виде:

$$\begin{aligned} V_{\text{eff}}\{u_n, v_n, w_n\} = -J_1 & \\ \times \sum_{|n_1-m_1|=1} \sum_{n_2=m_2} \sum_{n_3=m_3} (u_n u_m + v_n v_m + w_n w_m) - J_2 & \\ \times \sum_{n_1=m_1} \sum_{|n_2-m_2|=1} \sum_{|n_3-m_3|=1} (u_n u_m + v_n v_m + w_n w_m), \quad (2) & \end{aligned}$$

где $J_i = K_i/l^2$ ($i = 1, 2$). По статистическим свойствам предлагаемая модель с эффективной потенциальной энергией (2) взаимодействия дипольного типа между сегментами цепей должна соответствовать трехмерной анизотропной модели Гейзенберга с классическими спинами с фиксированной длиной ($u_n^2 + v_n^2 + w_n^2 = l^2$). Поэтому даже для двумерного изотропного варианта этой модели с потенциалом (2) невозможны точные аналитические расчеты [11,12]. Из-за некоммутативности группы вращений в трехмерном пространстве распределение Гиббса, соответствующее потенциальному (1), в отличие от двумерной модели [11] не сводится к гауссовому виду. Однако, как следует из различных стандартных приближенных методов (например, из высокотемпературных разложений [12]), в трехмерной изотропной модели Гейзенберга ($K_1 = K_2 = K$) существует критическая температура $T_c \sim K/k_B$, ниже которой система магнитных диполей (спинов) является упорядоченной. Поэтому вполне справедливо предположение, что и в рассматриваемой трехмерной многоцепной системе ниже T_c может существовать дальний ориентационный порядок. Использование более простых решаемых вариантов трехмерных моделей с гармоническим потенциалом взаимодействия для системы цепей вблизи состояния полного ориентационного порядка [13] или системы планарных цепей [14] подтверждает это предположение.

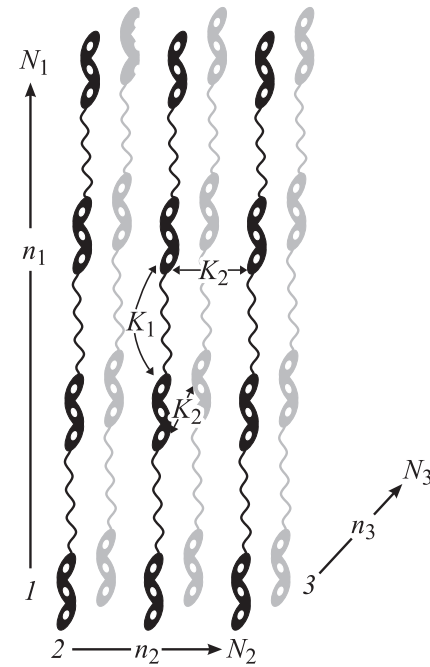


Рис. 1. Модель трехмерной полимерной системы. Энергетическая константа K_1 описывает внутрицепные ориентационные взаимодействия (в направлении 1 „квазирешетки“ $\mathbf{n} \equiv (n_1, n_2, n_3)$). Константа K_2 характеризует межцепные ориентационные взаимодействия (в направлениях 2 и 3 „квазирешетки“).

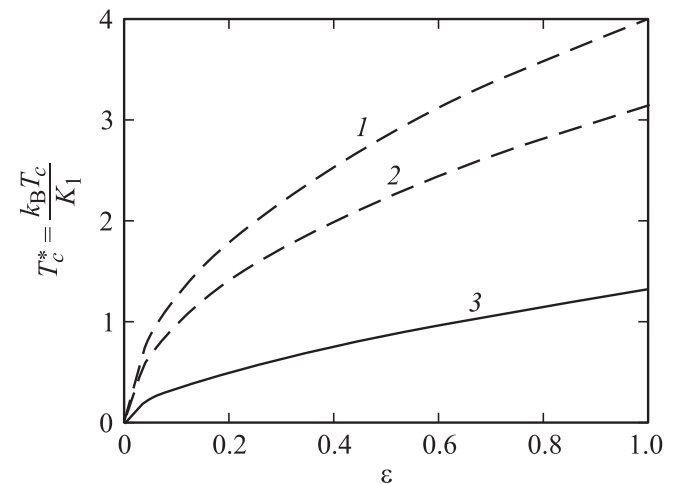


Рис. 2. Зависимости приведенной критической температуры $T_c^* = k_B T_c / K_1$ от отношения констант внутри- и межцепных взаимодействий $\epsilon = K_2 / K_1 = E_2 / E_1$ в приближении среднего поля (1) и многоцепном приближении (2) для трехмерной модели системы цепей из упруго-деформируемых сегментов с фиксированной среднеквадратичной длиной (модель гауссовых субцепей) при $\alpha_1 = E_1/E_0 \gg 1$ ($\epsilon \ll 1$) и трехкомпонентном сферическом приближении (3) для модели цепей из жестких элементов с локальными внутри- и межцепными взаимодействиями дипольного типа.

В настоящей работе использовано то обстоятельство, что статистические свойства гейзенберговских ферромагнетиков как при низких, так и высоких температурах в классическом приближении хорошо описываются трехкомпонентной сферической моделью [12,15]. Для рассматриваемой трехмерной модели полимерной системы из $N_1 N_2 N_3$ жестких элементов, как и в стандартном сферическом приближении Берлина–Каца для однокомпонентной модели Изинга [12], считается строго фиксированным не квадрат длины отдельного жесткого элемента ($u_n^2 + v_n^2 + w_n^2 = l^2$), а величина

$$\frac{1}{N_1 N_2 N_3} \sum_n u_n^2 + v_n^2 + w_n^2 = l^2. \quad (3)$$

Выражение для температуры перехода T_c в упорядоченное состояние с помощью методов, используемых в сферическом приближении [12,15], для трехмерных протяженных полимерных систем приводится к виду

$$T_c = \frac{2J_1 l^2}{3k_B A(\varepsilon)} = \frac{2K_1}{3k_B A(\varepsilon)}, \quad (4)$$

где параметр $\varepsilon = J_2/J_1 = K_2/K_1$ характеризует анизотропию внутри- и межцепных взаимодействий, а величина

$$A(\varepsilon) = \frac{1}{\pi^3} \int_0^\pi \int_0^\pi \int_0^\pi \frac{d\psi_1 d\psi_2 d\psi_3}{1 + 2\varepsilon - \cos \psi_1 - \varepsilon \cos \psi_2 - \varepsilon \cos \psi_3}. \quad (5)$$

При отсутствии межцепных взаимодействий ($\varepsilon = 0$) интеграл (5) расходится. Поэтому критическая температура $T_c = 0$, и, следовательно, фазового перехода не происходит.

В другой многоцепной модели — гауссовых субцепей [16] — потенциальная энергия локальных внутри- и межцепных ориентационно-деформационных взаимодействий описывается квазиупругим потенциалом дипольного типа

$$\begin{aligned} V_{\text{eff}}\{u_n, v_n, w_n\} &= \frac{1}{2} E \sum_n (u_n^2 + v_n^2 + w_n^2) \\ &- E_1 \sum_{|n_1 - m_1|=1} \sum_{n_2=m_2} \sum_{n_3=m_3} (u_n u_m + v_n v_m + w_n w_m) \\ &- E_2 \sum_{n_1=m_1} \sum_{|n_2 - m_2|=1} \sum_{|n_3 - m_3|=1} (u_n u_m + v_n v_m + w_n w_m). \end{aligned} \quad (6)$$

Первое слагаемое в выражении (6) с константой E — энергия квазиупругого взаимодействия, которое вводится в рамках моделей Каргина–Слонимского–Рауза [17]. Оно описывает внутрицепные взаимодействия, обусловленные кинематической связью гибких сегментов в цепи.

Второе слагаемое в потенциале (6) с константой E_1 , как и в модели Херста–Харриса [17], учитывает внутрицепную жесткость цепи на изгиб, которая отвечает по форме диполь–дипольному взаимодействию соседних сегментов. Параметры E и E_1 в потенциале (6) связаны с равновесными характеристиками отдельной цепи.

Третье слагаемое в выражении (6) с константой E_2 описывает энергию локальных межцепных ориентационно-деформационных взаимодействий дипольного типа. Оценка значений этих констант также проведена в работе [9].

Рассмотрим однородную модель, в которой вводится условие фиксированной среднеквадратичной длины сегмента l

$$\langle u_n^2 \rangle + \langle v_n^2 \rangle + \langle w_n^2 \rangle = l^2, \quad (7)$$

которое должно соблюдать независимо от степени ориентации цепей (величины константы межцепных взаимодействий E_2). В частности, в изотропном состоянии должно выполняться соотношение

$$\langle u_n^2 \rangle = \langle v_n^2 \rangle = \langle w_n^2 \rangle = \frac{l^2}{3}. \quad (8)$$

В трехмерной модели полимерной системы из гибких сегментов с фиксированной среднеквадратичной длиной сегментов [16] в самой критической точке T_c и после критической области ($T < T_c$) условие фиксации среднеквадратичной длины в симметричной форме (8) для изотропного состояния не выполняется. Это означает, что трехмерная система переходит в упорядоченное состояние с выделенным направлением ориентации сегментов цепей — осью порядка (директором в ЖК-системах). Температура перехода T_c в упорядоченное состояние определяется выражением [16]

$$T_c = \frac{2E_1 l^2}{D \cdot k_B A(\varepsilon)}, \quad (9)$$

где $\varepsilon = E_2/E_1 = K_2/K_1$ — параметр анизотропии внутри- и межцепных взаимодействий, величина $D = 2, 3$ — число компонент вектора, характеризующего ориентацию сегмента цепи.

Используя соотношение, полученное в работе [18], $E_i l^2 = D K_i$ между параметрами многоцепных моделей из жестких и гибких сегментов ($i = 1, 2$) при $\varepsilon \ll 1$, можно представить выражение (9) в виде

$$T_c \cong 3.12 \sqrt{K_1 K_2} / k_B, \quad (10)$$

так как $A(\varepsilon) \cong 0.643/\sqrt{\varepsilon}$, где K_1 и K_2 — константы локальных внутри- и межцепных взаимодействий жестких сегментов. В предельном случае — при отсутствии межцепных взаимодействий ($E_2 = 0$) — критическая температура $T_c = 0$. Следовательно, в отдельной цепи фазовый переход в упорядоченное состояние не происходит.

3. Теория и эксперимент

На рис. 3 показаны зависимости параметра дальнего ориентационного порядка μ от отношения температур T/T_c для приведенных моделей полимеров. Вид-

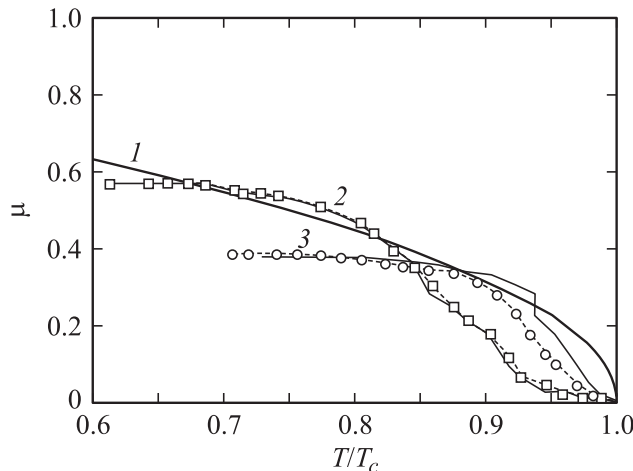


Рис. 3. Зависимости параметра дальнего ориентационного порядка μ от отношения температур T/T_c для трехмерной изотропной (при $\varepsilon = 1$) многоцепной сферической модели (1) и многоцепной модели из гибких сегментов с фиксированной среднеквадратичной длиной [16] (модель гауссовых субцепей) (1). Символами представлены экспериментальные данные [19] по исследованию термодеполяризации методом PPS (piezoelectric pressure step) в полимерных пленках чистого ПВДФ (поливинилиденфторид) (2) и его сополимера П(ВДФ–ТФЭ) (винилиденфторид с тетрафторэтиленом) (3). Соответствующие им штриховые кривые — расчетные данные в рамках модели СТМ (charge trapping model) [19].

но, что с ростом температуры для всех зависимостей наблюдается плавное монотонное уменьшение величины μ до нулевого значения, достигаемого в критической точке — точке Кюри T_c . Это свидетельствует о том, что в этих системах происходит фазовый переход второго рода из упорядоченного состояния в изотропное.

Результаты аналитических расчетов параметра дальнего дипольного порядка для модели из гибких сегментов [16] качественно согласуются с экспериментальными данными и теоретическими расчетами [19] температурной зависимости остаточной поляризации в полимерных электретных пленках (рис. 3). В этих экспериментах учитывалось, что уменьшение „обратимой“ составляющей поляризации происходит вследствие пироэффекта, причем вклад этой составляющей измерялся путем сопоставления остаточной поляризации, обнаруживаемой при увеличении температуры от 30 до 180°C, с ее значением после поляризации при комнатной температуре и после повторного охлаждения до комнатной температуры. Эксперименты [19] показали, что вплоть до 150°C спад „обратимой“ поляризации мал по сравнению с „необратимой“. Значительный эффект был обнаружен, когда неполяризованные образцы ПВДФ нагревались до 180°C (т. е. температуры плавления кристаллов). В этом случае наблюдалось аномальное увеличение поляризации при охлаждении до комнатной температуры. Объяснение этого эффекта связывают с

частичным плавлением и рекристаллизацией кристаллитов [19]. На рис. 3 также показаны результаты экспериментального исследования (методом PPS — piezoelectric pressure step) термодеполяризации чистого ПВДФ (кривая 2) и его сополимера П(ВДФ–ТФЭ), имеющего состав 65/63 (кривая 3). Образцы были получены в поляризующих полях $1.6 \cdot 10^8$ и $0.6 \cdot 10^8$ V/m в течение 1 и 2 min соответственно. Поляризация проводилась при комнатной температуре. Как видно из рис. 3, спад поляризации в ПВДФ происходит в широкой температурной области ($\sim 150^\circ\text{C}$) от комнатной температуры до температуры плавления кристаллитов. В отличие от ПВДФ остаточная поляризация в сополимере спадает в гораздо более узком температурном интервале.

4. Заключение

При достаточно низких (комнатных) температурах экспериментальные значения остаточной поляризации пленок оказываются несколько больше значений, рассчитанных для этой модели. Это можно объяснить влиянием неравновесных условий эксперимента, которые не учитываются в рамках модели [16], в отличие от теоретического подхода, приведенного в работе [19], где эти эффекты рассматриваются, и поэтому соответствие экспериментальных данных и теоретических расчетов в этой температурной области гораздо лучше.

Список литературы

- [1] A. Merenga, S.V. Shilov, F. Kremer, G. Mao, Ch.K. Ober, M. Brehmer. J. Phys. II (France) **4**, 859 (1994).
- [2] E.M. Terentjev, M. Warner. J. Phys. II (France) **4**, 849 (1994).
- [3] S.V. Sholov, H. Skupin, F. Kremer, E. Gebhard, R. Zentel. Liq. Cryst. **22**, 203 (1997).
- [4] В.Г. Вакс. Введение в микроскопическую теорию сегнетоэлектриков. Наука, М. (1973). 327 с.
- [5] M. Brehmer, R. Zentel. Liq. Cryst. **21**, 589 (1996).
- [6] P.I. Teixeira, M. Warner. Phys. Rev. E **60**, 603 (1999).
- [7] E.M. Terentjev, M. Warner. J. Phys.: Cond. Matter **11**, 239 (1999).
- [8] Yu.Ya. Gotlib, A.A. Gurtovenko. Macromolecules **33**, 6578 (2000).
- [9] А.В. Максимов, О.Г. Максимова, Д.С. Федоров. Высокомолекуляр. соединения А **48**, 1151 (2006).
- [10] А.В. Максимов. Высокомолекуляр. соединения А **50**, 518 (2008).
- [11] А.В. Максимов, О.Г. Максимова. Высокомолекуляр. соединения А **45**, 1476 (2003).
- [12] Р. Бэкстер. Точно решаемые модели в статистической механике. Мир, М. (1985). 488 с.
- [13] Ю.Я. Готлиб, В.Г. Баранов, А.В. Максимов. Высокомолекуляр. соединения А **29**, 2620 (1987).

- [14] А.В. Максимов, Ю.Я. Готлиб. Высокомолекуляр. соединения А **30**, 1411 (1988).
- [15] Э.Л. Нагаев. ФТТ **27**, 3270 (1985).
- [16] А.В. Максимов. Высокомолекуляр. соединения А **49**, 891 (2007).
- [17] Ю.Я. Готлиб, А.А. Даринский, Ю.С. Светлов. Физическая кинетика макромолекул. Химия, Л. (1986). 272 с.
- [18] Ю.Я. Готлиб, А.В. Максимов. Высокомолекуляр. соединения А **34**, 157 (1992).
- [19] А.А. Рычков, Д.А. Рычков, С.А. Трифонов. Полимерные диэлектрики. Книжный дом, СПб. (2005). С. 118.